


А. И. Давид К. А. Татаринов В. И. Свистун



**ХИЩНЫЕ,  
ХОБОТНЫЕ  
И КОПЫТНЫЕ  
раннего  
плейстоцена  
юго-запада  
СССР**

АКАДЕМИЯ НАУК МОЛДАВСКОЙ ССР  
Институт зоологии и физиологии  
АКАДЕМИЯ НАУК УКРАИНСКОЙ ССР  
Институт зоологии  
ЛЬВОВСКИЙ МЕДИЦИНСКИЙ ИНСТИТУТ  
Кафедра биологии

А. И. Давид К. А. Татаринов  
В. И. Свистун

ХИЩНЫЕ,  
ХОБОТНЫЕ  
И КОПЫТНЫЕ  
раннего  
плейстоцена  
юго-запада СССР

СЕМЕЙСТВО  
RHINOCEROTIDAE OWEN, 1945 — НОСОРОГОВЫЕ

*Dicerorhinus etruscus* (Falconer, 1859) —  
Носорог этрусский

**Материал.** МССР: *Колкотова балка* — череп (рис. 23), 2 фрагмента заднего отдела черепа, фрагмент правой половины нижней челюсти с  $M_1$  и  $M_2$ , корнями в альвеолах от  $P_3$ ,  $P_4$  и  $M_3$ , неполная левая половина нижней челюсти с  $rd_2-M_1$ , обломок задней части левой половины нижней челюсти с  $M_3$ , обломки нижнекоренных зубов, 3 фрагмента дистального конца плечевой кости, большая берцовая кость, плюсневая кость, обломки трубчатых костей; *Сукляя* — фрагменты горизонтальной ветви нижней челюсти и нижнекоренные зубы, среди которых нестертые моляры; *Малаешты* — фрагмент передней части правой нижней челюсти (обломана перед  $P_2$  и за  $P_4$ , имеются корни  $P_2$ ,  $P_3$  и альвеола  $P_4$ ), фрагмент нижнекоренного зуба, очевидно,  $P_4$ ; *Первомайск* — обломок нижнекоренного зуба

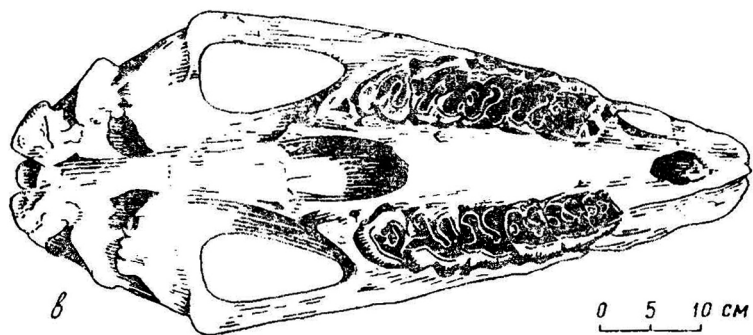
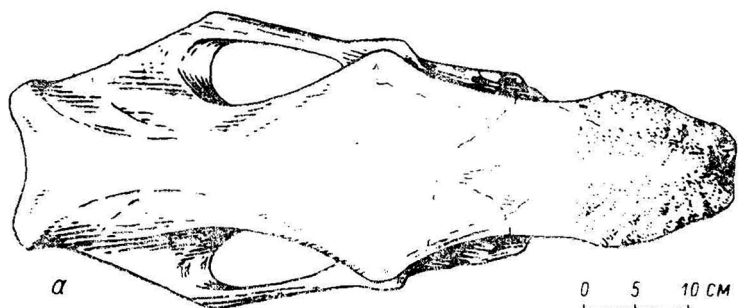


Рис. 23. Череп этрусского посорога: вид сверху (а), сбоку (б) и снизу (в) (Колкотова балка)

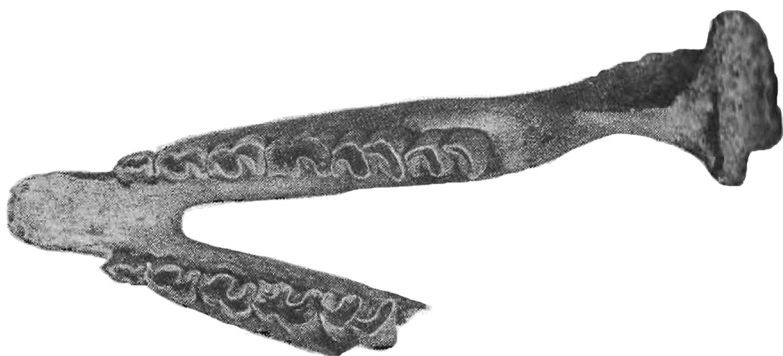


Рис. 24. Нижняя челюсть этрусского носорога (с. Шутновцы)

(коллекции ИЗиФ, КГКМ, ТКМ, ГИН, МГРИ); СССР: Шутновцы — нижняя челюсть (левая половина обломана за  $M_3$ , без  $P_2$  и  $P_3$ , у правой половины сохранились  $P_3$ ,  $M_1$  и  $M_2$ ), фрагмент левой половины нижней челюсти с  $P_3—M_2$  и частично разрушенным  $M_3$ , фрагмент правой половины нижней челюсти молодой особи с  $P_3$ ,  $M_1$  и  $M_2$  (коллекция ИЗУ, рис. 24), фрагмент правой половины нижней челюсти (без восходящей ветви, спереди обломана перед  $P_2$ , из зубов сохранились  $M_1$  и  $M_2$ ), фрагмент левой половины нижней челюсти (обломаны передняя часть до  $P_2$ , конец венечного отростка и наружная часть тела, зубы отсутствуют) (Лейбман, 1960 б); фрагмент правой половины нижней челюсти с  $M_1$  и  $M_2$  (коллекция ГИН) (Алексеева, 1977); Беляевка — фрагмент горизонтальной ветви нижней челюсти (коллекция ИЗУ, ПМОУ).

Костные остатки носорога этрусского из Колкотовой балки и Сукачи подробно рассмотрены А. И. Давидом (1966, 1969, 1980 а), Е. И. Беляевой и А. И. Давидом (1971). Сведения о некоторых челюстях из Шутновцов имеются в работах К. П. Лейбмана (1960 б) и Л. И. Алексеевой (1977).

Ниже приводятся наиболее характерные черты строения черепа, нижней челюсти и зубов.

У единственного почти полного осевого черепа (коллекция КГКМ, см. рис. 23) носовая перегородка неполная, носовые кости резко загнуты вниз, на их передней стороне довольно большая шероховатая поверхность для переднего рога. Parietalные гребни несколько сужены впереди, расходятся к паружным углам верхнего затылочного края, посредине которого имеется неглубокая выемка. Подъем

затылочного отдела постоянный и небольшой. Затылок невысокий, трапецидального очертания, верхняя часть его слабо наклонена назад. Мыщелки узкие, сильно выдаются назад. Заслуховой и засуставной отростки слиты. Скуловые дуги тонкие. Основные промеры (мм) черепа таковы: длина от *opisthion* до *prosthion* — 697, от середины заднего края *foramen magnum* до лобной выемки — 330, то же до затылочного бугра — 95, а от переднего конца носовых костей до орбиты — 330; высота затылка до заднего края *I. magnum* — 145, ширина черепа в скуловых дугах — 291, между наружными скуловыми отростками — 214, ширина лоба между  $P^2$  — 66 и между  $M^2$ — $M^3$  — 71, наибольшая ширина лобной кости — 213, высота носовой перегородки — 90, длина зубного ряда — 235, длина премоляров — 106, длина моляров — 126.

Коренные зубы черепа — брахиодонты, воротничок окаймляет внутреннюю сторону коронок. Кроше слабо развит. Размеры (мм) зубов небольшие:  $P_2$  — длина 36,0, ширина 37,0, высота 21,0;  $P_3$  — соответственно 39, 50, 23;  $P_4$  — 43, 52, 25;  $M^1$  — 49, 55, 19;  $M^2$  — 53, 54, 25;  $M^3$  — 48, 50.

Горизонтальная ветвь нижней челюсти невысокая, небольшой подъем ее заметен против  $P_4$  и  $P_3$ . Нижний край прямой, угловой отдел закруглен. Альвеолярный край позади  $M_3$  широкий (30,0—50,0 мм), слегка вогнут, ограничен по краям небольшими гребнями, наружный гребень у некоторых челюстей очень слабо выражен или отсутствует. Передний край венечного отростка притуплен, длинная ось суставной головки направлена наклонно. Переднее полулуние на молярах уже заднего. Эмаль тонкая, иногда частично покрытая цементом, имеет форфоровидную слегка шероховатую поверхность. На наружной поверхности моляров развит слабый воротничок. На передней и задней сторонах  $M_3$  есть эмалевые складки, поднимающиеся довольно высоко над основанием коронки. Зубы брахиодонты, средних размеров (табл. 26).

Особенности строения черепа, в частности форма затылка, небольшой угол между затылочной и темениной, затылочной и лобной плоскостями (Алексеева, 1977), и зубов позволяют считать, что носорог этрусский был обитателем степных и лесостепных ландшафтов.

Происхождение носорога этрусского не ясно. Предполагается, что в Европе он сформировался на базе местных форм (Azzaroli, 1963).

Древнейшие находки этого носорога в Восточной Евро-

Таблица 26. Размеры (мм) нижней челюсти и нижних коренных зубов носорога злрусского

Промер	Шутновцы		Белявка	Колкогова балка	Малаешты, Суклея	Морская, плицоце
	п	Lim				
Длина от верхушки симфиза до заднего края восходящей ветви (в проекции)	1	431	—	—	—	—
Длина зубного ряда $P_2-M_3$ (по альвеолам)	2	231,0; 232,0	241,0	232,0	—	230,0
Длина зубного ряда $P_2-P_4$ (так же)	2	95,0; 100,0	107,0	91,0	107,7*	102,0
Длина зубного ряда $M_1-M_3$ (так же)	3	128,0—134,0	138,0	130,0	—	128?
Толщина горизонтальной ветви под $M_3$	2	52,0; 54,0	55,0	49,0; 56,0	—	48,5; 50,0?
Ширина альвеолярного края позади $M_3$	3	30,0—45,0	50,0	31,0	—	—
Высота горизонтальной ветви позади $M_3$	3	81,5—95,0	91,0	82,0; 90,0	—	82,0
$P_2$ длина	2	24,0; 35,0	30,0	—	—	—
ширина	2	18,0; 19,0	20,0	—	—	—
$P_3$ длина	3	28,0—31,0	32,0	30,0 (ал.)	—	34,0
ширина	3	21,0—24,0	26,0	25,0 (ал.)	—	27,0
$P_4$ длина	4	30,0—37,0	40,0	32,0 (ал.)	40,0*	36,5; 38,0
ширина	4	26,0—29,0	28,5	27,0 (ал.)	29,3*	26,0; 31,0
$M_1$ длина	5	31,0—43,2	41,0	44,0; 45,8	—	43,0; 43,0
ширина	4	29,0—33,0	30,5	44,0; 44,0	—	27,0; 33,0
$M_2$ длина	4	37,0—45,0	45,0	30,0	46,0**	45,0
ширина	4	28,0—33,0	32,0	48,0; 48,6	28,3**	—
$M_3$ длина	4	40,0—48,0	44,0	29,0; 30,5	53,0; 54,0**	—
ширина	4	28,0—30,0	29,2	45,0; 46,0	32,0; 31,0**	—

Примечания: \*Малаешты. \*\*Суклея. Данные по Морской приведены из работы Л. П. Алексеева.

не связаны с верхнеплиоценовыми отложениями ее южных районов, содержащими остатки хапровского териокомплекса. В раннем плейстоцене жила его поздняя форма, которая, по мнению некоторых исследователей (Вангенгейм, Жсгалло, 1982), является переходной к *D. kirchbergensis*.

В Западной Европе носорог этрусский известен также в позднем плиоцене и раннем плейстоцене (Громова, 1965).

*Dicerorhinus kirchbergensis* (Jaeger, 1839) =

*D. mercki* (Jaeger, 1841) —

Носорог кирхбергский (Мерка)

**Материал.** МССР: *Колкотова балка* — правая половина нижней челюсти без симфизного отдела с  $P_3$  —  $M_3$  средней стертости (от  $P_2$  сохранились корни в альвеоле); правая половина нижней челюсти с поврежденной резцовой частью и веночным отростком, из коренных зубов имеются частично разрушенные  $M_2$  и  $M_3$ , зуб  $M_2$ , фрагменты коронки разных зубов (коллекция ИЗиФ); нижняя челюсть с обломанной задней частью за  $M_1$  левой половины, без резцов (рис. 25), фрагмент горизонтальной ветви правой половины без зубов, фрагмент большой берцовой кости (коллекция ИЗУ); УССР: *Белявка* — фрагмент нижней челюсти с зубами (рис. 26, коллекция ПМОУ); *Синяково-1* — 14 фрагментов зубов и костей.

У нижних челюстей симфиз длинный, узкий, дистальный конец его лежит между  $P_2$  и  $P_3$  или в середине  $P_3$ . Подъем горизонтальной ветви начинается под  $M_1$  или  $P_4$  —  $M_1$ . Альвеолярный край позади  $M_3$  широкий, ограничивающие его с паружной и внутренней сторон гребни хорошо разви-



Рис. 25. Нижняя челюсть кирхбергского носорога (Колкотова балка)